

球壳封头圆柱壳的极限荷载

胡 宗 陵

(建 工 系)

摘 要

本文讨论和研究球壳和圆柱壳组合结构承受内压时的极限荷载。结构为理想刚塑性材料，服从双矩弱作用屈服条件，壳体屈服后仍满足中面直线法假设。对给定结构塑性破坏形式，进行塑性分析和计算，得到了简便极限荷载计算公式和适用范围，所获得的解是完全解。

一 前 言

压力容器在化工、石油等工业部门广泛采用。压力容器常由球壳和圆柱壳组合而成，对于这种组合结构的极限分析，不少学者做出了贡献。一般来说，极限荷载计算可以从两种途径进行，一是用静力许可方法通过静力平衡方程、塑性条件、边界条件求得极限荷载，由极限分析定理，它总是小于或等于真实荷载；二是机动许可法，采用满足几何条件、速度边界条件的速度场，通过能量法，来求得极限荷载，它总是大于或等于真实极限荷载。对于结构真实极限荷载的计算，往往两种方法均应进行，才能估算结果精确性。这给问题的求解，带来了困难。

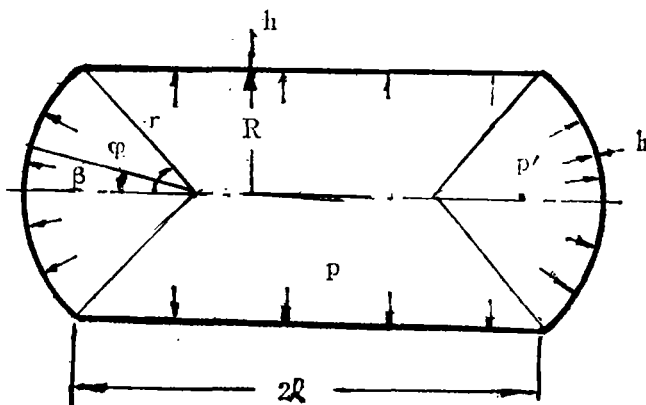


图 一

本文用静力许可方法，对球壳封头的圆柱壳(图一)承受内压时，求得静力许可场和极限荷载，再通过几何条件、速度边界条件和连续条件，求出与静力许可场相关连的速度场，并服从塑

本文于1987年7月23日收到

性流动条件，这样，所得到的解是问题的完全解。其结论，不仅适用于半球封头圆柱壳，也适用于任意球壳封头的圆柱壳，因此，可以推广到圆形抛物面扁壳为封头的圆柱壳中。

二、基本方程及符号

1、平衡微分方程

柱壳单元如图二所示，其上内力素：

N_x, N_θ ——轴向和环向单位长度上的力。

M_x, M_θ ——轴向和环向单位长度弯矩。

Q_x ——单位长度横向剪力的。

平衡微分方程

$$\begin{aligned} \frac{dN_x}{dx} &= 0 \\ \frac{dQ_x}{dx} + \frac{N_\theta}{R} &= p \\ \frac{dM_x}{dx} - Q_x &= 0 \end{aligned} \quad (1)$$

球壳单元如图三所示，其上内力素：

N_θ, N_φ ——纬线和经线方向单位长度上薄膜力

M_θ, M_φ ——纬线和经线方向单位长度弯矩

Q ——横向剪力（单位长度）

由薄壳理论建立球壳平衡微分方程为

$$\begin{aligned} \frac{d(N_\theta \sin \varphi)}{d\varphi} - N_\varphi \cos \varphi - Q \sin \varphi &= 0 \\ N_\theta \sin \varphi + N_\varphi \sin \varphi + \frac{d(Q \sin \varphi)}{d\varphi} - & \\ - r p \sin \varphi &= 0 \quad (2) \\ \frac{d(N_\varphi \sin \varphi)}{d\varphi} - M_\theta \cos \varphi - r Q \sin \varphi &= 0 \end{aligned}$$

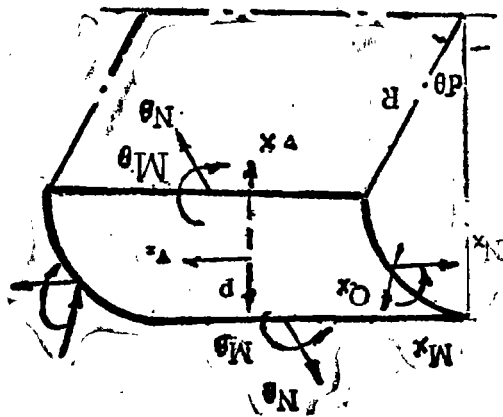
2、几何方程：

V_x, W_x ——柱壳中面上一点轴向和法向速度。

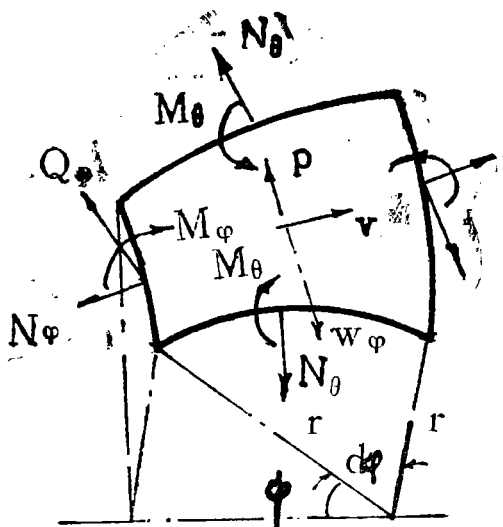
V, W ——球壳中面上一点经线方向和法向速度。

当壳体进入塑性状态后，中面直线假设仍然成立，于是

柱壳的应变速度



图二



图三

$$\begin{aligned}
 \dot{\varepsilon}_\theta &= -\frac{\dot{W}_x}{R}, & \dot{\varepsilon}_x &= \frac{dV_x}{dx} \\
 \text{中面主曲率变化速度} & & & \\
 \dot{\chi}_\theta &= 0, & \dot{\chi}_x &= -\frac{d^2 W_x}{dx^2} \\
 \text{转动角速度} & & & \\
 \omega_x &= \frac{-dW_x}{dx}
 \end{aligned} \quad (3)$$

$$\begin{aligned}
 \dot{\varepsilon}_\theta &= (V \operatorname{ctg} \varphi - W_\varphi)/r, & \dot{\varepsilon}_\varphi &= \left(\frac{dV}{d\varphi} - W_\varphi \right) / r \\
 \text{壳球中面应变速度} & & & \\
 \dot{\chi}_\theta &= -\operatorname{ctg} \varphi \left(V + \frac{dW_\varphi}{d\varphi} \right) \frac{1}{r^2}, & \dot{\chi}_\varphi &= -\frac{1}{r^2} \left(V + \frac{dW_\varphi}{d\varphi} \right) \\
 \text{中面上主曲率变化速度} & & & \\
 \omega_\varphi &= -\left(V + \frac{dW_\varphi}{d\varphi} \right) \frac{1}{r} \\
 \text{转动角速度} & & &
 \end{aligned} \quad (4)$$

3、连接条件

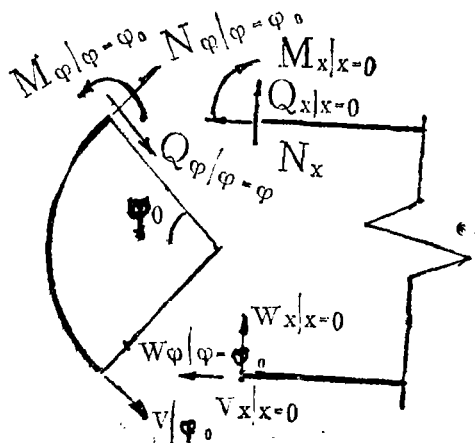
由图四知力的连接条件

$$\begin{aligned}
 Q|_{\varphi-\varphi_0} \sin \varphi_0 - N|_{\varphi-\varphi_0} \cos \varphi_0 &= Q_x|_{x=0} \\
 Q|_{\varphi-\varphi_0} \cos \varphi_0 + N|_{\varphi-\varphi_0} \sin \varphi_0 &= N_x|_{x=0} \\
 M|_{\varphi-\varphi_0} &= M_x|_{x=0}
 \end{aligned} \quad (5)$$

速度连接条件

$$\begin{aligned}
 -V|_{\varphi-\varphi_0} \cos \varphi_0 + W|_{\varphi-\varphi_0} \sin \varphi_0 &= W_x|_{x=0} \\
 V|_{\varphi-\varphi_0} \sin \varphi_0 + W|_{\varphi-\varphi_0} \cos \varphi_0 &= V_x|_{x=0}
 \end{aligned} \quad (6)$$

图四



其中

$$\Omega|_{\varphi-\varphi_0} = \Omega_x|_{x=0}$$

4、广义应力符号

$$\begin{aligned}
 n_x &= \frac{N_x}{N_0} & n_\theta &= \frac{N_\theta}{N_0} \\
 m_\theta &= \frac{M_\theta}{M_0} & m_x &= \frac{M_x}{M_0} \\
 m_\varphi &= \frac{M_\varphi}{M_0} & P &= \frac{p}{N_0/r}
 \end{aligned}$$

$$N_0 = \sigma r h$$

$$M_0 = \frac{1}{4} \sigma_T r h^2 \quad \frac{N_0}{M_0} = 4/h$$

σ_T ——为材料屈服极限
 h ——为壳体的壁厚
 p ——容器内压

三、极限屈服面

- 假设：1. 材料为理想刚塑性材料，服从 Tresca 塑性条件和流动规律，忽略剪力对塑性条件影响。
 2. 材料为不可压缩。
 3. 结构屈服时服从双矩弱作用屈服条件，即弯矩起主要作用时，可以忽略薄膜力对材料进入塑性条件影响，而当薄膜力起主要作用时，则可忽略弯矩对材料进入塑性条件影响。

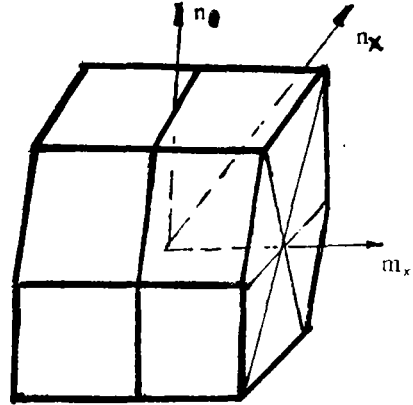


图 五

由于圆柱壳在进入塑性状态后， $\dot{\chi}_\theta = 0$ ，因此， M_θ 不做塑性功，柱壳的屈服面是一个空间曲面^①，它可以自12个线性化平面组成，由假设3，则可进一步简化成由八个平面组成，见图五和表1。

表 1 圆柱壳屈服曲面

面	方程	应变速度矢量 $\dot{\epsilon}_\theta \dot{\epsilon}_x \dot{\chi}_x \dot{\chi}_\theta$	面	方程	应变速度矢量 $\dot{\epsilon}_\theta \dot{\epsilon}_x \dot{\chi}_x \dot{\chi}_\theta$
1	$n_\theta = 1$	$v_1(1, 0, 0, 0)$	5	$n_\theta - n_x = 1$	$v_5(0, -1, 0, 0)$
2	$-n_\theta = 1$	$v_2(-1, 0, 0, 0)$	6	$-n_\theta + n_x = 1$	$v_6(-1, 1, 0, 0)$
3	$n_x = 1$	$v_3(0, 1, 0, 0)$	7	$m_x = 1$	$v_7(0, 0, 1, 0)$
4	$-n_x = 1$	$v_4(0, -1, 0, 0)$	8	$m_x = -1$	$v_8(0, 0, -1, 0)$

对于球壳的屈服曲面是一个四维超空间曲面，它可以由线性化22个平面组成^②，由假设3，则可以简化成由12个平面组成的超空间曲面，如表2和图六(a)、(b)。

表2 球壳屈服曲面

面序	方 程	应变速度矢量 $\dot{\varepsilon}_\theta \dot{\varepsilon}_\varphi \dot{\chi}_\theta \dot{\chi}_\varphi$	面序	方 程	应变速度矢量 $\dot{\varepsilon}_\theta \dot{\varepsilon}_\varphi \dot{\chi}_\theta \dot{\chi}_\varphi$
1	$n_\theta - n_\varphi = 1$	$v_1(1, -1, 0, 0)$	7	$m_\theta - m_\varphi = 1$	$v_7(0, 0, 1, -1)$
2	$-n_\theta + n_\varphi = 1$	$v_2(-1, 1, 0, 0)$	8	$-m_\theta + m_\varphi = 1$	$v_8(0, 0, -1, 1)$
3	$n_\theta = 1$	$v_3(1, 0, 0, 0)$	9	$m_\varphi = 1$	$v_9(0, 0, 1, 0)$
4	$-n_\theta = 1$	$v_4(-1, 0, 0, 0)$	10	$m_\theta = -1$	$v_{10}(0, 0, -1, 0)$
5	$n_\varphi = 1$	$v_5(0, 1, 0, 0)$	11	$m_\varphi = 1$	$v_{11}(0, 0, 0, 1)$
6	$-n_\varphi = 1$	$v_6(0, -1, 0, 0)$	12	$m_\varphi = -1$	$v_{12}(0, 0, 0, -1)$

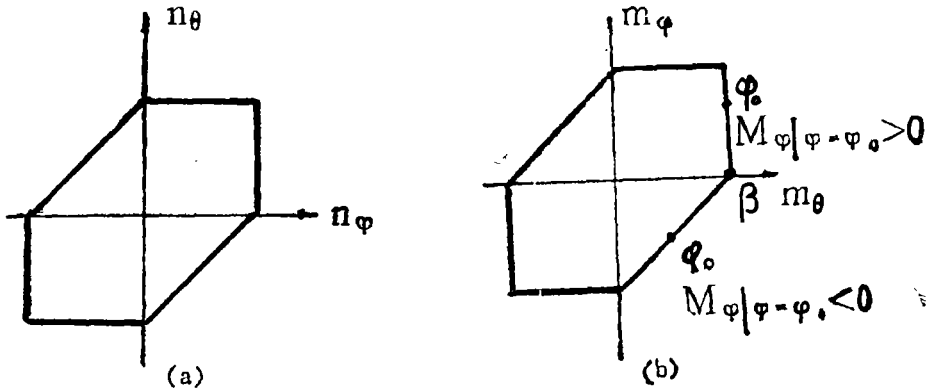


图 六

四、极限荷载计算

组合结构塑性破坏形式如图七所示，它是由球壳和柱壳同时因弯曲变形而引起的。

1、屈服条件

根据壳体受力特点和弹性分析，可设结构进入塑性状态时，有

$$n_\theta = 1$$

于是，在这种塑性破坏形式下，对于圆柱壳的塑性屈服条件，取

$$n_\theta = 1, \text{相应屈服面为} \\ v_1(1, 0, 0, 0) \quad (7)$$

对于球壳屈服条件： $(\beta < \varphi < \varphi_0)$

当 $M_\varphi | \varphi - \varphi_0 < 0$ 时，取

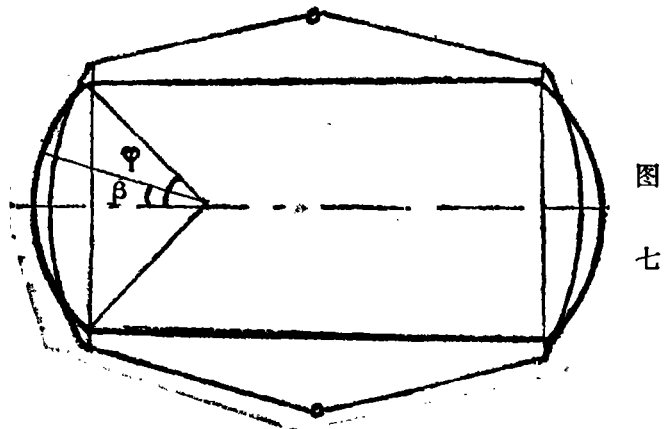


图 七

$$n = 1, m = 1 + m_0, \text{ 相应屈服面为} \\ v_3(1, 0, 0, 0) \text{ 和 } v_7(0, 0, 1, -1) \quad (\beta < \varphi < \varphi_0) \quad (8)$$

当 $M_{\varphi, \varphi - \varphi_0} > 0$ 时, 取

$$n = 1, m_0 = 1, \text{ 相应屈服面为} \\ v_1(1, 0, 0, 0) \text{ 和 } v_6(0, 0, 1, 0), \quad (\beta < \varphi < \varphi_0) \quad (9)$$

2、边界条件
力的边界条件

$$\begin{aligned} M_{\varphi, \varphi = \beta} = 0 \quad N_{\varphi, \varphi = \beta} = 0 \\ M_{x, x=1} = -M_0 \quad Q_{x, x=1} = 0 \end{aligned} \quad (10)$$

速度边界条件

$$\begin{aligned} (\dot{O}_{x, x=1})_s \quad (\text{铰圆处转动角速度 } \dot{O}_s) \\ v_{x, x=0} = 0, \quad W_{\varphi, \varphi = \beta} = l \cos \beta, \quad v_{\varphi = \beta} = l \sin \beta, \quad (l: \text{刚性位移}) \quad (11) \end{aligned}$$

3、静力许可场

由圆柱壳的平衡方程 (1), 屈服条件 (7) 和边界条件 (10), 可得

$$\begin{aligned} N_x &= \frac{N_0}{2} P \sin \varphi_0 \\ Q_x &= N_0 \left(P - \frac{1}{\sin \varphi_0} \right) \frac{x-r}{r} \\ M_x &= M_0 \left\{ \left(P - \frac{1}{\sin \varphi_0} \right) k^2 \left(\frac{x^2}{r^2} - 2 \frac{x}{r} \right) + \left(P - \frac{1}{\sin \varphi_0} \right) k^2 - 1 \right\} \end{aligned} \quad (12)$$

其中 $k^2 = \frac{2l^2}{r h}$

由球壳的平衡方程 (2), 屈服条件 (8)、(9) 和连接条件 (5) 以及边界条件 (10), 可以得到

$$\begin{aligned} N &= N_0 \left\{ \left(P - 2 \right) \frac{\varphi - \varphi_0}{2} - \frac{P}{2} \sin \varphi_0 \cos \varphi_0 + \right. \\ &\quad \left. + \left(P - \frac{1}{\sin \varphi_0} \right) \frac{1}{r} \sin \varphi_0 \right\} \text{Ctg} \varphi + \frac{P}{2} \end{aligned} \quad (13)$$

$$Q = N_0 \left[\left(P - 2 \right) \frac{\varphi - \varphi_0}{2} + \frac{P}{2} \sin \varphi_0 \cos \varphi_0 - \left(P - \frac{1}{\sin \varphi_0} \right) \frac{1}{r} \sin \varphi_0 \right]$$

$$\text{并有 } P = 2 \frac{\varphi_0 - \beta + \frac{1}{r}}{\varphi_0 - \beta + \text{tg} \beta + 2 \frac{1}{r} \sin \varphi_0 - \sin \varphi_0 \cos \varphi_0} \quad (14)$$

1) 当 $M_{\varphi, \varphi - \varphi_0} < 0$ 时, 有

$$M_\varphi = M_0 \ln \frac{\sin \varphi}{\sin \varphi_0} + \frac{4r}{h} M_0 \left\{ \left[(P-2) \frac{2\varphi_0 - \varphi}{4} - \frac{P}{2} \sin \varphi_0 \cos \varphi_0 + \left(P - \frac{1}{\sin \varphi_0} \right) \frac{1}{r} \sin \varphi_0 \right] \varphi + \left[\frac{P}{2} \operatorname{tg} \beta - \frac{\beta}{4} (P-2) \right] \right\} \quad (15)$$

式中 β 可由下式求得:

$$\left(\varphi_0 - \beta + \frac{1}{r} \right) \frac{4r}{h} \left[\frac{(\varphi_0 - \beta)^2}{2} + \operatorname{tg} \beta (\varphi_0 - \beta) - 2k^2 \right] - \left[\frac{2r}{h} (\varphi_0 - \beta)^2 - \frac{k^2}{\sin \varphi_0} - 1 - \ln \frac{\sin \varphi_0}{\sin \beta} \right] \left(\varphi_0 - \beta + \operatorname{tg} \beta + 2 \frac{1}{r} \sin \varphi_0 - \cos \varphi_0 \sin \varphi_0 \right) = 0 \quad (16)$$

当球壳与圆柱壳连接处出现塑性铰圆时, 由 $M_x|_{x=0} = -M_0$, 可得到

$$P = \frac{1}{\sin \varphi_0}$$

2) 当 $M_{\varphi_0}(\varphi = \varphi_0) > 0$ 时, 则可得到

$$M_\varphi = M_0 + \frac{4r}{h} M_0 \left\{ \left[(P-2) \frac{\varphi_0 - \varphi}{2} - \frac{P}{2} \cos \varphi_0 \sin \varphi_0 + \left(P - \frac{1}{\sin \varphi_0} \right) \operatorname{ctg} \varphi + \frac{P}{2} - 1 \right] - M_0 \left(1 - \frac{4r}{h} \right) \frac{\sin \beta}{\sin \varphi} \right\} \quad (17)$$

式中 β 可由下式确定

$$\begin{aligned} & \frac{1}{r} \left[\frac{4r}{h} (\varphi_0 - \beta) \cos \varphi_0 - \frac{4r}{h} \sin \varphi_0 + \frac{4r}{h} \operatorname{tg} \beta \cos \varphi_0 - 2k^2 \sin \varphi_0 \right] + \\ & + (\varphi_0 - \beta) \left[\frac{4r}{h} \operatorname{tg} \beta \cos \varphi_0 - 2k^2 \sin \varphi_0 \right] - (\varphi_0 - \beta) \left[k^2 + 2 \sin \varphi_0 - \right. \\ & \left. - \left(\frac{4r}{h} - 1 \right) \sin \beta \right] - \left[\frac{4r}{h} (\varphi_0 - \beta) \cos \varphi_0 - \frac{4r}{h} \sin \varphi_0 - \right. \\ & \left. \left(\frac{4r}{h} - 1 \right) \sin \beta \right] \left[2 \frac{1}{r} \sin \varphi_0 + \operatorname{tg} \beta - \cos \varphi_0 \sin \varphi_0 \right] = 0 \end{aligned} \quad (18)$$

当球壳与圆柱壳连接处出现塑性铰圆时, 由 $M_x|_{x=0} = M_0$, 可得到

$$P = \frac{2}{k^2} + \frac{1}{\sin \varphi_0}$$

由式(14)表示的球壳封头圆柱壳的极限荷载P的静力容许范围

$$P \geq \frac{1}{\sin \varphi_0} \quad P \leq \frac{2}{k^2} + \frac{1}{\sin \varphi_0} \quad (19)$$

4、速度许可场

现求解与上述静力许可场相关连的速度场。

圆柱壳：(0 ≤ x ≤ l)

由屈服条件(7)和几何方程(3)，知

$$\dot{\chi}_x = 0 \quad \frac{d^2 w_x}{dx^2} = 0 \quad \dot{\varepsilon}_x = 0 \quad \frac{dv_x}{dx} = 0$$

得到

$$W_x = -(\omega_c x + w_0) \quad V_x = V_0 \quad (20)$$

球壳：(β ≤ φ ≤ φ₀)

当 $M_\varphi|_{\varphi=\varphi_0} < 0$ 时

由屈服条件(8)以及几何方程(4)，知

$$\dot{\varepsilon}_\varphi = 0 \quad \dot{\chi}_\varphi = 1 \quad \dot{\chi}_\varphi = -1 \quad \text{即 } \dot{\chi}_\varphi + \dot{\chi}_\varphi = 0$$

得到微分方程

$$\frac{dV}{d\varphi} - w_\varphi = 0 \quad \text{ctg}\varphi \left(V + \frac{dw_\varphi}{d\varphi} \right) + \frac{dV}{d\varphi} + \frac{d^2 w_\varphi}{d\varphi^2} = 0$$

求解微分方程，得

$$V = E \sin \varphi + F \cos \varphi + D(\sin \varphi \ln \sin \varphi - \varphi \cos \varphi)$$

$$W_\varphi = E \cos \varphi - F \sin \varphi + D(\cos \varphi \ln \sin \varphi + \varphi \sin \varphi) \quad (21)$$

由速度边界条件(11)，连接条件(6)，可确定常数

$$D = -r\omega_0 \sin \varphi_0$$

$$E = r\omega_0 \sin \varphi_0 \ln \sin \varphi_0$$

$$F = w_0 - r\omega_0 \varphi_0 \sin \varphi_0$$

$$w_0 = r\omega_0 (\varphi_0 - \beta) \sin \varphi_0 \quad (22)$$

$$\omega_c = \omega_0$$

$$V_0 = 0$$

$$I = r\omega_0 \sin \varphi_0 \ln \frac{\sin \varphi_0}{\sin \beta}$$

将定出常数分别代入式(20)，(21)，可得一速度场，表达式为

$$V = r\omega_0 \sin \varphi_0 \sin \varphi \ln \frac{\sin \varphi_0}{\sin \varphi} + r\omega_0 (\varphi - \beta) \sin \varphi_0 \cos \varphi$$

$$W_\varphi = r\omega_0 \sin \varphi_0 \cos \varphi \ln \frac{\sin \varphi_0}{\sin \varphi} - r\omega_0 (\varphi - \beta) \sin \varphi_0 \sin \varphi \quad (23)$$

相应屈服面 $v_1(1,0,0,0) + v_7(0,0,1,-1) = [r\omega_1(\varphi - \beta) \frac{\sin\varphi_0}{\sin\varphi}, 0,0,0] +$
 $+ [0,0, \frac{\omega_1}{r} \sin\varphi_0 \frac{\text{Ctg}\varphi}{\sin\varphi}, -\frac{\omega_1}{r} \frac{\sin\varphi_0}{\sin\varphi} \text{Ctg}\varphi]$ (24)

当 $M_\varphi |_{\varphi = \varphi_0} > 0$

由屈服条件(9), 几何方程(4), 知

$$\dot{\chi}_\varphi = 0 \quad \dot{\varepsilon}_\varphi = 0$$

由微分方程

$$\frac{d^2 W_\varphi}{d\varphi^2} + \frac{dV}{d\varphi} = 0 \quad \frac{dV}{d\varphi} - W_\varphi = 0 \quad (25)$$

不难求得其解

$$V = A \sin\varphi - B \cos\varphi + C \quad W_\varphi = A \cos\varphi + B \sin\varphi \quad (26)$$

利用连接条件(6), 边界条件(11), 可确定常数

$$\begin{aligned} A &= r\omega_1 \sin\varphi_0 \\ B &= -\omega_1 - r\omega_1 \sin\varphi_0 \\ C &= -r\omega_1 \\ \omega_0 &= r\omega_1 (\cos\beta - \sin\varphi_0) \\ I &= r\omega_1 (1 - \sin\beta) \end{aligned} \quad (27)$$

将常数代入式(26), 可得球壳速度场

$$\begin{aligned} V &= r\omega_1 (\sin\varphi_0 \sin\varphi + \cos\beta - \sin\varphi_0) \\ W_\varphi &= r\omega_1 (\sin\varphi_0 \cos\varphi - \cos\beta \sin\varphi) \quad (\beta < \varphi < \varphi_0) \end{aligned} \quad (28)$$

将式(27)常数代入式(20), 可得圆柱壳速度场

$$\begin{aligned} W_x &= -[\omega_1 x + r\omega_1 (\cos\beta - \sin\varphi_0)] \quad (0 \leq x \leq 1) \\ V_x &= 0 \end{aligned} \quad (29)$$

式(29)相应的屈服面

$$v_1 = (1,0,0,0) = \left\{ \omega_1 \left[-\frac{x}{R} + \frac{r}{R} (\cos\beta - \sin\varphi_0) \right], 0,0,0 \right\} \quad (30)$$

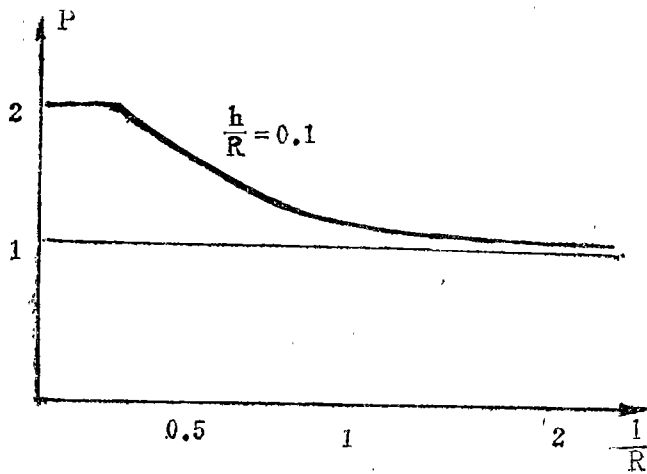
式(28)相应的屈服面

$$v_1(1,0,0,0) + v_8(0,0,1,0) = \left[\left(\frac{\cos\beta}{\sin\varphi} - 1 \right) \omega_1, 0,0,0 \right] + v_8 \left(0,0, \frac{\text{ctg}\varphi}{r} \omega_1, 0 \right)$$

五、结 束 语

本文所得到的静力许可场和与此相关连的速度场, 完全满足平衡方程、几何方程、屈服条件和边界条件以及连接条件, 根据极限分析定理, 所得到的解是完全解。

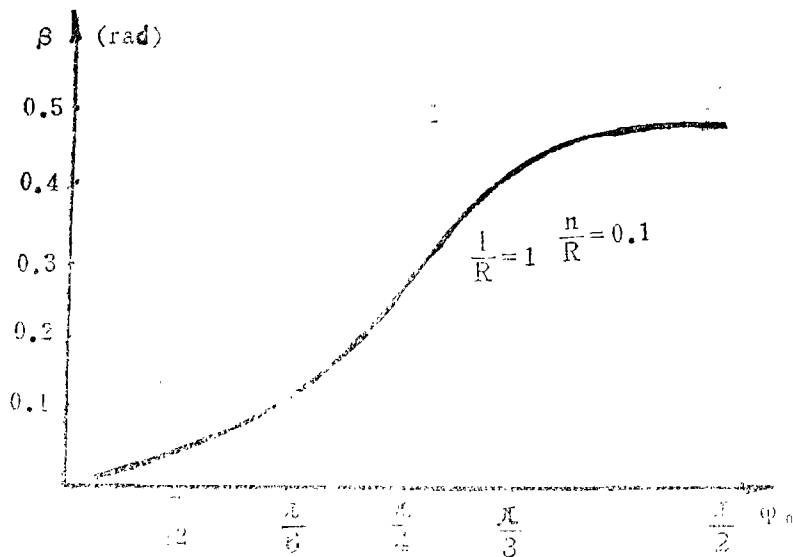
由图八看出, 半球壳封头圆柱壳的极限荷载 P 与 $\frac{1}{R}$ 之间关系, 随 $\frac{1}{R}$ 比值增加极限荷载减小



图八 $P-\frac{1}{R}$ 关系

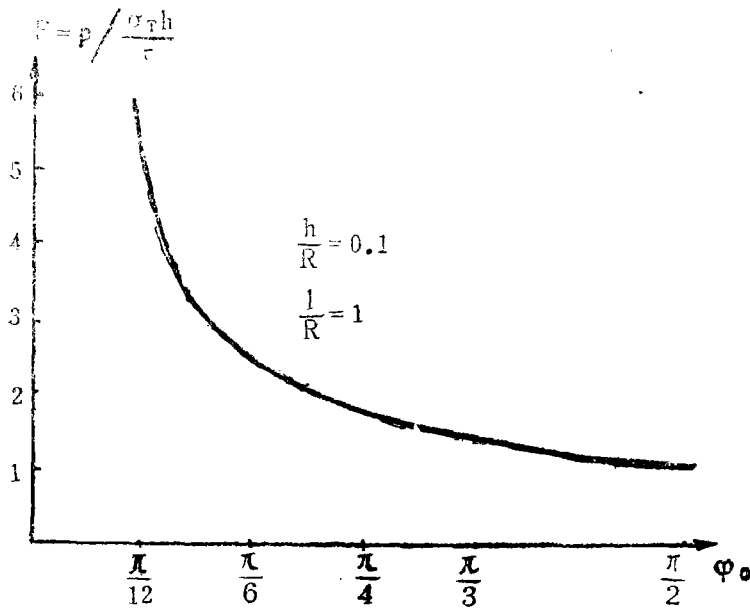
而趋于1，与参考文献〔3〕所得到的结论基本一致。

图九给出了 β 与球壳球心角 φ_0 之间关系， β 随 φ_0 减小而趋于零。球壳愈扁平（ φ_0 愈小），球壳受弯矩影响愈大。



图九 $\beta \sim \varphi_0$ 间关系

图十给出极限荷载 P 与 φ_0 间关系。 P 随 φ_0 减小而增大，原因是球壳愈扁平，其半径愈大，而使 P 增大。只需将 r 换算成柱壳半径 R ，就可得一小值。当 φ_0 较小时（ $\varphi_0 \leq 15^\circ$ ），根据薄壳理论圆形抛物面扁壳两个主曲率可近似视为相等，因此，上述结果可以用于圆形抛物面扁壳为封头圆柱壳中，使处理问题范围更广泛。



图十
P ~ φ_0
关系

参 考 文 献

- [1] Hodge, P. G. Jr "The rigid-Plastic analysis of symmetrically loaded cylindrical shells" J. Appl. Mech 21 336—342(1954)
- [2] Onat, E. T. Prager W. Limit analysis of shells of revolution Koninkl. Nederl. Akad. Wet. proc(B) 57. 534—548(1954)
- [3] 程莉、徐秉业 球壳与柱壳组合结构等强度的塑性分析 清华大学学报 Vol24. No4 1984.
- [4] 徐秉业、刘信声 结构塑性极限分析 中国建筑工业出版社 1985
- [5] 李康先 壳体极限承载能力 上海交通大学科学研究处编印。1963. 4.